

# 최적 퍼지 룰 베이스 시스템의 설계를 위한 유전 알고리즘

김동훈\*, 김종율

\*동서대학교 컴퓨터정보공학부

## Genetic Algorithm for Designing the Optimal Fuzzy Rule-base Systems

Dong-hun Kim\* · Jong Ryul Kim\*

\*Dongseo University Computer Information Engineering Division

E-mail : genetic.kim@gmail.com, xmaskjr@gdsu.dongseo.ac.kr, jobok@gdsu.dongseo.ac.kr

### 요약

본 논문은 퍼지 분류 시스템을 위한 퍼지 규칙베이스에 대한 최적화 해법으로서 유전 알고리즘에 대해 살펴본다. 즉 퍼지 규칙베이스를 이용하는 퍼지 분류 시스템을 최적화하는 유전 알고리즘을 제안한다. 제안하는 유전 알고리즘은 분류 성능을 보다 더 향상시키기 위해서 인식에 사용된 규칙에 대한 확실성 정도를 개선하는 방법을 포함한다. 본 논문에서 다루는 최적화는 추출되는 퍼지 규칙의 수와 퍼지 분류 시스템의 입력 패턴을 정확하게 분류하는 지에 대한 성능을 포괄적으로 수행하는 것을 의미한다. 마지막으로 본 논문에서 제안하는 유전 알고리즘을 이용하여 수치실험을 수행하고 그 결과를 통해 제안하는 알고리즘의 유효성과 효율성을 생성된 퍼지 규칙의 수와 퍼지 분류 시스템의 성능의 관점에서 논의한다.

### 키워드

퍼지 룰 베이스 시스템 (Fuzzy Rule-base System), 유전 알고리즘 (Genetic Algorithm, GA), 퍼지 분류 시스템

### I. 서 론

다양한 제어 시스템에 퍼지 시스템을 적용하기 위해 주로 퍼지 if-then 규칙들이 채택되고 있으며 일반적으로 관련 시스템의 전문가들에 의해 if-then 규칙들이 결정되어 왔다 [1]. 최근의 연구들은 측정된 실세계의 데이터들로부터 관련 시스템의 전문가의 도움 없이도 자동으로 퍼지 if-then 규칙들을 생성하는 것에 집중되고 있다 [2,3]. 이러한 자기 학습법들 (Self-learning Methods)은 최급강하법 (Gradient Descent Method), 신경망 기반의 방법, 유전 알고리즘 등과 같은 해법들을 이용하여 퍼지 규칙들의 퍼지 집합에 대한 멤버쉽 함수를 선택하기 위해 주로 제안되었다 [9].

1960년대 이후로 어려운 최적화 문제들을 위한 강력한 알고리즘들을 개발하기 위해 살아 있는 생명체를 모방하는 것에 대한 관심들이 증대되고 있다. 그러한 기술들 중에 유전 알고리즘은 그 탐색 방법을 자연 현상을 모델링한 형태로 취하고 있으며 실세계의 응용에서 빈번히 발생하는 대규모의 최적화 문제를 위한 확률적 탐색 알고리즘으로 개발되었다 [7,8]. 또한 다양한 다른 알고리즘들의 다양한 특징들을 결합시키는 매우 많은 하이브리드 방법들도 존재하고 있다. 최근에 다양한 유전 알고리즘들이 퍼지 if-then 규칙들의 생성과 if-then 규칙들에서의 퍼지집합을 위한 멤버

쉽 함수의 결정을 위해 널리 제안되고 있다 [3,9].

본 논문에서는 전문가의 도움 없이 실세계에서 측정된 데이터로부터 퍼지 if-then 규칙들을 자동적으로 생성하기 위해 퍼지 규칙 베이스 시스템을 최적화하는 유전 알고리즘을 제안한다. 즉 퍼지 분류 시스템의 성능을 극대화하면서 퍼지 if-then 규칙의 수를 최소화하기 위해 학습과정에서 확실성 정도를 개선하는 유전 알고리즘을 제안한다. 마지막으로 제안한 알고리즘은 수치 실험을 통해 퍼지 분류 시스템에서 사용된 퍼지 규칙의 수와 정확히 분류된 패턴의 수 (퍼지 분류 시스템의 성능)의 관점에서 효율적이고 효과적임을 증명한다.

### II. 문제기술

본 논문에서는  $l$ 개의 학습 패턴들 (레이블된 패턴들)이 수치 데이터로서 주어지고  $m$ 차원의 속성 값들과  $n$ 개의 클래스들을 가진 패턴 분류 문제를 다룬다. 여기서 레이블된 입력 패턴들을  $p_i = (p_{i1}, p_{i2}, \dots, p_{im})$ ,  $i = 1, 2, \dots, l$  (속성 값  $p_{ij}$ 는 범위  $[0, 1]$ 에서의 실수치 임)으로 나타낸다.

#### 2.1 퍼지 규칙 (Linguistic Fuzzy Rules)

$m$ 차원 속성 값과  $l$ 개의 클래스를 가진 패턴 분류 문제를 위해 본 논문에서는 다음과 같은 퍼지 규칙을 이용한다:

$R_k$ : if  $p_{i1}$  is  $M_{k1}$  and ... and  $p_{im}$  is  $M_{km}$  then class  $c_k$  with  $g_{ck}$ ,  $k = 1, 2, \dots, q$ ,

여기서  $R_k$ 는 퍼지 시스템의  $k$ 번째 퍼지 규칙이고  $p_i = (p_{i1} p_{i2} \dots p_{im})$ 는  $m$ 차원 패턴 벡터의  $i$ 번째 패턴이며  $M_{kj}$ 는  $k$ 번째 퍼지 규칙의  $j$ 번째 속성을 위한 퍼지 집합이고  $c_k$ 는 결과 클래스를,  $g_{ck}$ 는 범위  $[0,1]$ 내의 값을 가지는 확실성 정도(certainty grade)를, 마지막으로  $q$ 는 퍼지 규칙의 총 개수를 의미한다. 각 퍼지 규칙의 결과 클래스  $c_k$ 와 확실성 정도  $g_{ck}$ 는 2.2절에 나타낸 것과 같이 주어진 패턴들로부터 휴리스틱 규칙 생성 프로시저에 의해 손쉽게 구할 수 있다 [4].

본 논문에서는 그림 1에서 나타낸 것처럼 후보 퍼지 if-then 규칙들의 전반부 퍼지 집합에 대한 멤버쉽 함수들을 6개의 언어적인 값으로 제한하여 사용한다 (즉 S: small, MS: medium small, M: medium, ML: medium large, L: large, DC: don't care).

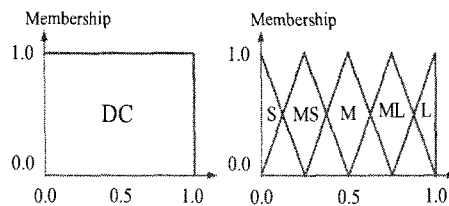


그림 1. 언어적인 규칙을 위한 퍼지 집합들

## 2.2 규칙 생성법 (Rule Generation Method)

퍼지 규칙의 생성을 위해서 우선 퍼지 규칙  $R_k$ 에 대한  $p_i$ 의 적합도를 다음의 수식을 이용하여 계산한다:

$$\mu_k(p_i) = \mu_{k1}(p_{i1}) \cdot \mu_{k2}(p_{i2}) \cdot \dots \cdot \mu_{km}(p_{im}),$$

여기서  $\mu_{ki}(\cdot)$ 는 퍼지 집합  $M_{kj}$ 의 멤버쉽 함수를 의미한다.

적합도의 계산을 수행한 후에 주어진 퍼지 집합  $M_{kj}$ 에 대하여 결과 클래스  $c_k$ 와 확실성 정도  $g_{ck}$ 를 다음과 같이 결정한다.

**Step 1:** 각 클래스에 대해 퍼지 규칙  $R_k$ 의 적합도 총합을 다음 수식을 이용하여 계산한다:

$$\beta_c = \sum_{p_i \in \text{Class } c} \mu_k(p_i), \quad c = 1, 2, \dots, n,$$

**Step 2:** 퍼지 규칙  $R_k$ 의 결과 클래스  $c_k$ 는 적합도 총합을 최대치를 가진 클래스로 결정된다. 즉  $c_k$ 는 다음 수식을 만족하는 클래스  $\hat{c}$ 로 결정된다:

$$\hat{c} = \max \{\beta_1, \beta_2, \dots, \beta_n\}.$$

만일 클래스  $\hat{c}$ 로 유일하게 결정할 수 없다면  $c_k$ 에  $e$  (empty class)를 할당한다.  $e$ 로 할당된 퍼지 규칙이 새로운 패턴들에 대한 분류 과정에 어떠한 영향도 끼치지 않기 때문에 본 논문에서는 이러한 규칙을 더미 규칙으로 간주한다.

**Step 3:** 모든 더미 규칙들에 대한 확실성 정도

$g_{ck}$ 는 0로 설정하고 ( $g_{ck} = 0$ ) 그 이외 규칙들에 대해서는 확실성 정도  $g_{ck}$ 는 다음 수식과 같이 계산된다:

$$g_{ck} = \frac{\beta_c - \bar{\beta}}{\sum_{c=1}^n \beta_c}, \quad \text{여기서 } \bar{\beta} = \frac{\sum_{c \neq k} \beta_c}{n-1} \text{이다.}$$

## 2.3 퍼지 규칙 최적화 문제

생성된  $q$ 개의 퍼지 분류 규칙 집합을  $Z^* = \{R_k | k=1, 2, \dots, q\}$ 로 나타낸다. 집합  $Z^*$ 내의 모든 퍼지 분류 규칙들은 규칙 선택 문제에서의 후보 규칙들로 이용된다. 본 논문에서의 규칙 최적화 문제는 고성능이면서도 간결한 분류 시스템  $Z$ 를 발견해 내기 위해 규칙 집합  $Z^*$ 으로부터 적은 수의 퍼지 규칙들을 선택하는 것을 의미한다. 본 논문에서의 퍼지 규칙 최적화 문제는 두 종류의 목적함수, 즉 적은 수의 퍼지 규칙들 및 고성능의 분류 능력을 가진다. 따라서 본 논문에서의 규칙 선택 문제는 다음과 같이 정식화 할 수 있다:

$$\begin{aligned} & \max w_1 f_1(Z) - w_2 f_2(Z), \\ & \text{s. t. } Z \subseteq Z^* \end{aligned}$$

여기서  $w_1$ 과  $w_2$ 는 두 종류의 목적함수를 하나로 만들기 위해 각 목적함수에 할당되는 상수로서 가중치(weights)를 의미하고 양수 값을 가진다. 또한,  $f_1(Z)$ 는 규칙 집합  $Z$ 에서의 퍼지 규칙들에 의해 정확하게 분류해내는 패턴들의 수를,  $f_2(Z)$ 는 퍼지 규칙 집합  $Z$ 에서의 퍼지 규칙들의 수를 각각 의미한다.

## III. 제안하는 유전 알고리즘

### 3.1 유전자 표현법 및 초기화

본 논문에서 사용되는 염색체의 유전자 표현법은  $v = (v_1 v_2 \dots v_q)$ 와 같은 벡터로 표현할 수 있다. 여기서  $q$ 는 입력과 출력을 조합하여 생성할 수 있는 퍼지 규칙들의 개수이다. 그리고  $v_k$ 는 퍼지 규칙 집합에서  $k$ 번째 규칙이 분류 과정에서의 사용 여부를 나타내고 다음의 3가지 값 중에 하나를 취하게 된다:

$$v_k = \begin{cases} 1 & k\text{번째 규칙이 규칙 집합 } Z \text{에 포함되면}, \\ 0 & k\text{번째 규칙이 더미 규칙이면}, \\ -1 & k\text{번째 규칙이 규칙 집합 } Z \text{에 포함되지 않으면} \end{cases}$$

더미 규칙들은 새로운 패턴들에 대한 분류 처리 과정에서 아무런 영향을 끼치지 않기 때문에 퍼지 규칙 집합  $Z$ 에서 제거되어야 하며 벡터  $v = (v_1 v_2 \dots v_q)$ 는  $Z = \{R_k | v_k = 1; k = 1, 2, \dots, q\}$  형태로 복호화(decoding)될 수 있다.

집단(Population)에서의 각 염색체 벡터  $v_t (t=1, \dots, pop\_size)$ 는 더미 규칙들에는 0을 할당하고 그 외의 규칙들에는 0.5의 확률로 랜덤하게 1 또는 -1을 할당하여 생성해 낸다. 여기서  $pop\_size$ 는 유전 알고리즘의 탐색 과정상에서 각 세대에 대한 집단의 크기(염색체 벡터들의 개수)를 의미한다.

### 3.2 평가 함수

본 논문에서는 다음과 같은 형태로 집단에서의 염색체  $v_i$ 를 평가한다.

$$eval(v_i) = w_1 \cdot f_1(v_i) - w_2 \cdot f_2(v_i).$$

#### 3.2.1 새로운 패턴 분류를 위한 폐지 추론

폐지 규칙의 규칙 집합을  $Z$ 라고 가정하면 새로운 패턴  $p_i$ 는 다음과 같은 과정을 통해 분류된다:

**Step 1:** 다음의 수식을 통해  $c$  클래스 ( $=1, 2, \dots, n$ )

를 위한  $\alpha_c$ 를 계산해 낸다:

$$\alpha_c = \max \{ \mu_k(p_i) \cdot g_{c_k} | c_k = c \text{ and } R_k \in Z \},$$

여기서  $\mu_k(p_i)$ 는 폐지 규칙  $R_k$ 에 대한 새로운 패턴  $p_i$ 의 적합도를 의미하고  $\alpha_c$ 는 폐지 규칙의 후반부에 있어서의  $c$  클래스를 위한 확실성 정도와 적합도를 곱한 것들 중에 최대 값을 나타낸다.

**Step 2:**  $\alpha_c$ 값들 중에서 최대치를 다음과 같이 찾아낸다:

$$\hat{\alpha}_c = \max \{ \alpha_1, \alpha_2, \dots, \alpha_n \}.$$

만일 두개 이상의 클래스들이 동일한 최대치를 가지고 있다면 새로운 패턴  $p_i$ 의 분류를 실패하게 되며 그렇지 않은 경우에는  $\hat{\alpha}_c$ 에 의해 결정되는  $\hat{c}$ 를 패턴  $p_i$ 에 할당한다.

**Step 3:** 만일 폐지 규칙  $R_k$ 가 최대  $\alpha_c$ 값을 가지면 새로운 패턴  $p_i$ 는 폐지 규칙  $R_k$ 에 의해 분류된다고 판단한다. 여기서 정확하게 분류된 패턴들의 개수를 알아냄으로써 분류 성능 함수인  $f_c(\cdot)$ 을 계산해 낼 수 있다.

**Step 4:** 확실성 정도  $g_{c_k}$ 를 다음과 같은 수식으로 새로이 계산한다.

$$g'_{c_k} = g_{c_k} + \begin{cases} \delta_1 \cdot (1 - g_{c_k}), & p_i \text{가 정확히 분류되면;} \\ -\delta_2 \cdot g_{c_k}, & p_i \text{가 잘못 분류되면.} \end{cases}$$

여기서  $\delta_1$ 은 확실성 정도를 증가시키기 위한 양의 학습 상수를,  $\delta_2$ 는 확실성 정도를 감소시키기 위한 양의 학습 상수를 각각 의미한다.

잘못 분류되는 패턴들보다 정확하게 분류되는 패턴들이 더 많이 존재하기 때문에  $\delta_1$ 보다  $\delta_2$ 를 보다 더 큰 값으로 할당하는 것이 바람직하다. 그래서 본 논문에서는  $0 < \delta_1 < \delta_2 < 1$  조건이 만족하도록 설정한다. 수치실험을 위해서  $\delta_1 = 0.0001$ ,  $\delta_2 = 0.1$ 으로 설정하여 실험하였다.

#### 3.2.2 폐지 규칙 개수

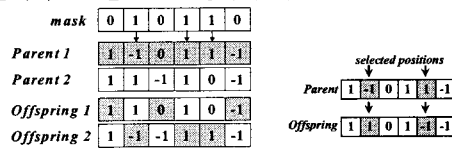
본 논문에서는 염색체내의 표현형이 1로 표시되는 것들의 개수를 알아봄으로써 폐지 규칙들의 개수 ( $f_c(\cdot)$ )를 구해 낸다.

### 3.3 선택

본 논문에서 사용된 선택 연산은 자유로이 해 공간을 탐색하도록 하기 위해 토너먼트 선택법과

엘리티스트 (elitist) 방법을 혼합한 형태이다.

토너먼트 선택은  $n$ 개의 염색체를 임의로 선택하고 이를 중에서 가장 적응도가 높은 개체를 다음 세대의 집단에 포함시킨다. 다음 세대의 염색체들을 모두 얻을 때까지 이 과정을 반복한다. 이때 선택된 염색체를 현재 집단에서 제거하지 않는다. 즉, 한 염색체가 여러 번 선택될 수 있다. 본 논문에서는  $n$ 을 5로 설정하여 이용한다.



(a) 다점 교차

그림 2. 유전 연산자들

(b) 돌연변이

### 3.4 유전자 연산자들

그림 2에서와 같이 균등교차 (uniform crossover)이라고도 불리는 다점 교차(multi-point crossover)를 이용한다.

본 논문에서의 돌연변이 연산은 그림 2에서 나타낸 것과 같이 두개의 다른 돌연변이율 ( $P_{m1}$ 과  $P_{m2}$ )을 가지고 임의로 염색체의 표현형을 변환하는 연산이다.  $P_{m1}$ 은 1에서 -1로 변이되는 것을 위한 돌연변이율이고  $P_{m2}$ 는 -1에서 1로의 변이를 위한 돌연변이율이다. 유전 알고리즘 동작 과정상에서 언어적인 분류 규칙들의 수를 줄여나가기 위해서 본 논문에서는  $P_{m2}$ 보다도  $P_{m1}$ 을 더 높게 설정하였다.

### IV. 수치실험 및 결과

본 논문에서 제안하는 알고리즘의 성능을 알아보기 위해 2 종류의 문제를 가지고 수치 실험을 수행한다. 최적화를 위한 프로그램은 Visual Studio 2005상의 C++로 작성되었고 실행은奔腾 IV 3.2GHz의 PC에서 수행되었다.

#### 4.1 수치예 1

우선 2차원 속성 값을 가진 2개의 클래스 분류 문제를 대상으로 한다 [9]. 수치 실험은 다음과 같은 유전 알고리즘 파라미터로 설정해 수행되었다:  $w_1 = 10$ ,  $w_2 = 1$ ,  $pop\_size = 50$ ,  $P_c = 1.0$ ,  $P_{m1} = 0.5$ ,  $P_{m2} = 0.05$ ,  $max\_gen = 200$ , 여기서  $max\_gen$ 은 유전 알고리즘의 최대 반복횟수를,  $P_c$ 는 교차율을 의미한다.

모든 가능한 폐지 규칙 집합들로부터 의미 있는 적은 수의 규칙을 선택하는 규칙 베이스 최적화를 위해 제안된 유전 알고리즘을 수치예 1에 적용한 결과는 표 1에 요약되어 있다. 제안 알고리즘을 통해 구해낸 최선의 결과는 다음과 같이 3개의 분류 규칙과 100%의 분류 성능을 가진 것을 얻었다. 또한 평균적인 분류 성능은 99.96%였고 최악의 경우라도 99.17%의 분류 성능을 얻

을 수 있었다.

- $R_1$ : if  $p_1$  is DC and  $p_2$  is DC then class 1 with  $gc_1 = 0.190083$ ,  
 $R_6$ : if  $p_1$  is DC and  $p_2$  is L then class 2 with  $gc_6 = 0.838384$ ,  
 $R_{19}$ : if  $p_1$  is M and  $p_2$  is DC then class 2 with  $gc_{19} = 0.748252$ .

표 1. 수치실험의 결과

Example	$f_1(Z)$	$f_2(Z)$	Time(sec.)
1	Avg.	120.95	3.65
	STD.	0.22	2.01
	Best	121.00	3.00
	Worst	120.00	12.00
2	Avg.	149.50	12.60
	STD.	0.69	4.01
	Best	150.00	8.00
	Worst	149.00	14.00

STD.: Standard Deviation, Avg.: Average  
Time: Computation Time (millisecond)

## 4.2 수치예 2

두 번째 수치예에서는 분류 규칙의 선택을 위해 널리 알려진 iris꽃 데이터에 제안한 유전 알고리즘을 적용해 보았다. iris 꽃에는 setosa, versicolor, virginica의 3종류가 있으며 꽃잎과 꽃받침의 길이와 폭을 이용하여 구분해 볼 수 있다.

이러한 iris꽃 데이터는 꽃잎 길이, 꽃잎 폭, 꽃받침 길이, 꽃받침의 폭의 4차원의 입력 속성 값과 3종류의 클래스를 가진 분류 문제로 나타낼 수 있으며 Anderson [5]에 의해 수집된 iris꽃 데이터로부터 150개의 임의로 생성한 샘플들을 입력데이터 집합으로 해서 수치실험을 수행하였다.

수치예 1에서와 같은 유전 알고리즘 파라미터를 가지고 수치실험을 시행한 결과, 다음과 같은 퍼지 규칙과 100%의 분류 성능을 가진 결과를 얻을 수 있었으며 표 1에 수치실험의 결과를 요약해 두었다. 역시 평균적으로는 99.67%의 분류 성능을, 최악의 경우에는 99.33%의 분류 성능의 결과를 얻을 수 있었다.

- $R_2$ : if  $p_1$  is DC and  $p_2$  is DC and  $p_3$  is DC and  $p_4$  is S then class 1 with  $gc_2 = 1.000000$ ,  
 $R_{22}$ : if  $p_1$  is DC and  $p_2$  is DC and  $p_3$  is M and  $p_4$  is M then class 2 with  $gc_{22} = 0.953076$ ,  
 $R_{25}$ : if  $p_1$  is DC and  $p_2$  is DC and  $p_3$  is ML and  $p_4$  is DC then class 3 with  $gc_{25} = 0.586097$ ,  
 $R_{31}$ : if  $p_1$  is DC and  $p_2$  is DC and  $p_3$  is L and  $p_4$  is DC then class 3 with  $gc_{31} = 1.000000$ ,  
 $R_{61}$ : if  $p_1$  is DC and  $p_2$  is S and  $p_3$  is ML and  $p_4$  is DC then class 3 with  $gc_{61} = 0.428016$ ,  
 $R_{130}$ : if  $p_1$  is DC and  $p_2$  is M and  $p_3$  is M and  $p_4$  is M then class 2 with  $gc_{130} = 0.968342$ ,  
 $R_{436}$ : if  $p_1$  is MS and  $p_2$  is DC and  $p_3$  is DC and  $p_4$  is M then class 2 with  $gc_{436} = 0.954327$ ,  
 $R_{509}$ : if  $p_1$  is MS and  $p_2$  is MS and  $p_3$  is DC and  $p_4$  is ML then class 3 with  $gc_{509} = 0.726048$ .

## V. 결 론

본 논문에서는 퍼지 규칙베이스를 가진 퍼지 분류 시스템의 최적화를 위해 퍼지 규칙베이스 시스템에 대한 유전 알고리즘 기반의 해법을 제안

하였다. 본 논문에서의 퍼지 규칙 집합을 이용하는 퍼지 분류 시스템에 대한 최적화 문제는 선택된 퍼지 규칙 개수의 최소화와 추출해 낸 퍼지 규칙들을 이용하여 학습 패턴들을 정확하게 분류할 수 있는 패턴의 개수로 정의되는 분류 성능을 최대화를 포함한다.

제안 알고리즘이 유효성과 효과성을 파악하기 위해 2 종류의 수치예를 이용하여 수치실험을 수행하였다. 수치 실험의 결과를 통해 제안 알고리즘이 퍼지 분류 시스템에서 사용되는 퍼지 규칙의 수와 정확하게 분류되는 패턴들 개수의 관점에서 유효하고 효과적임을 알 수 있다.

## 참고문헌

- [1] H. Xu and G. Vukovich, "Fuzzy evolutionary algorithms and automatic robot trajectory generation", Proc. Of First IEEE Conference on Evolutionary Computation, Piscataway, pp.595-600, 1998.
- [2] S. Horikawa, T. Furahashi, S. Okuma, and Y. Uchikawa, "Composition Methods of Fuzzy Neural Networks and their Performance Evaluation", Proc. of IIZUKA'98, pp.183-184, 1998.
- [3] C. G. Lim, Y. M. Jung, and E. K. Kim, "A Genetic Algorithm for generating optimal fuzzy rules", International Journal of KIMICS, Vol7, No.4, pp.765-778, 2003 (Korean).
- [4] H. Ishibuchi, K. Nozaki, and H. Tanaka, "Pattern classification by distributed representation of fuzzy rules", IEEE International Conference on Fuzzy Systems, pp.643-650, 1992.
- [5] E. Anderson, "The irises of the Gaspé peninsula", Bulletin of the American Iris Society 59, 2-5, 1935.
- [6] R.A. Fisher, "The use of multiple measurements in taxonomic problems", Annals of Eugenics 7, 179-188, 1936.
- [7] M. Gen and R. Cheng, *Genetic Algorithms and Engineering Design*, John Wiley & Sons, New York, 1997.
- [8] M. Gen and R. Cheng, *Genetic Algorithms and Engineering Optimization*, John Wiley & Sons, New York, 2000.
- [9] T. Murada, *Genetic Algorithms for Multiobjective Optimization*, Doctoral Thesis, Osaka Prefecture University, 1997.
- [10] L. B. Booker, D. E. Goldberg, and J. H. Holland, "Classifier systems and genetic algorithms", Artificial Intelligence, Vol.40, No.1-3, pp.235-293, 1989.